



## تخمین گروههای هیدرولوژیکی خاک در حوزه‌های فقد داده‌ی اندازه‌گیری شده

محمد ذونعمت کرمانی<sup>۱</sup> و معین گنجعلیخانی<sup>۲</sup>

۱- دانشیار، دانشگاه شهید باهنر کرمان

۲- دانش آموخته کارشناسی ارشد، دانشگاه شهید باهنر کرمان، (نویسنده مسؤول: ganjalikhani@agr.uk.ac.ir) تاریخ دریافت: ۹۳/۷/۱۷ تاریخ پذیرش: ۹۳/۷/۲

### چکیده

در بسیاری از پروژه‌های کنترل سیل، آبخیزداری و توسعه منابع آب محاسبات مربوط به دبی رودخانه بسیار حائز اهمیت است که این امر نیازمند مدل سازی جامع هیدرولوژیکی در منطقه است. ضرورت آگاهی از وضعیت منابع آب و نزولات جوی در حوزه‌های آبریز مختلف برای اجرای طرح‌های آبی از یک سو و عدم وجود شبکه قابل قبولی از استگاه‌های اندازه‌گیری پارامترهای هواشناسی و هیدرومتری از سوی دیگر، اهمیت استفاده از روش‌های غیرمستقیم برای استفاده از حجم رواناب در حوزه‌های آبریز را بیش از پیش آشکار می‌سازد. افزون بر این، طراحی سازه‌های آبی مورد نیاز رودخانه‌ها از جمله پل و آببند، نیازمند پیش‌بینی سیلاب‌های عظیم منطقه است. در همین راستا و در پژوهش حاضر تعیین گروههای هیدرولوژیکی خاک حوزه آب‌بخشا واقع در بردسیر کرمان که یکی از اساسی‌ترین شاخص‌ها برای تخمین حجم و پیک سیلاب منطقه است، مورد بررسی قرار گرفت. در حوزه مذکور، به استثنای یک زیرحوزه، گروههای هیدرولوژیکی خاک در دسترس نبوده که در ابتدا این مقادیر با استفاده از نقشه شیب منطقه تخمین اولیه گروههای هیدرولوژیکی خاک انجام شد که بررسی‌های آنی تطابق ۸۷ درصدی مقادیر تخمین زده شده با مقادیر اندازه‌گیری شده در زیرحوزه با داده‌های موجود را بیان می‌دارد. در ادامه، هشت سیلاب تک رخداد با توجه به داده‌های تخمین زده شده و مشاهداتی بارش-رواناب با استفاده از نرم افزار HEC-HMS مدل سازی شد و واسنجی مدل با به کارگیری روش چهار تابع هدف برای پارامترهای شماره منحنی و ضریب K مربوط به روندیابی به روش ماسکینگام انجام پذیرفت. در انتها به منظور ارزیابی مدل واسنجی شده، شیوه‌سازی چهار سیلاب تک رخداد با توجه به آزمون‌های نکوبی برآش EF و NOF بررسی قرار گرفت. با توجه به نتایج حاصله، روش RMSE به عنوان بهترین تابع هدف انتخاب شد و بهینه‌سازی‌های مورد نظر بر اساس آن انجام گرفت. در مجموع، با توجه به در دسترس نبودن شماره منحنی خاک و نتایج خوب مدل مورد استفاده، می‌توان این روش را نسبه مناسبی برای محاسبه حجم سیلاب‌ها در مراحل اولیه طرح‌های مطالعاتی دانست.

**واژه‌های کلیدی:** گروههای هیدرولوژیکی خاک، حوزه آب‌بخشا، HEC-HMS، شماره منحنی خاک، CN

ایالت واشینگتن طی سال‌هال ۲۰۱۵، ۲۰۲۵ و ۲۰۵۰ پرداختند.

نتایج حاکی از قابلیت مدل HEC-HMS در پیش‌بینی الگوهای مختلف به ویژه در طراحی شهری و کاهش خسارات سیل که در حوزه‌های شهری از اهمیت به سزاوی برخوردار است، را دارا است. داسیلوا و همکاران (۷) با بکارگیری مدل HEC-HMS اقدام به شیوه‌سازی هیدرولوژیکی حوزه‌ی رودخانه‌ی کلائی در سریلانکا کردند و که نتایج حاصله از شیوه‌سازی حاکی از دقت بالای مدل مذکور داشت. در تحقیقی دیگر، ژان و همکاران (۲۱) با ارائه افزونه ArcGIS در محیط ArcCN-Runoff اقدام به تخمین شماره منحنی خاک نمودند. این افزونه توانایی کاهش قابل ملاحظه زمان را در محاسبات مربوط به شماره منحنی خاک را دارا می‌باشد. هم چنین ساترا و همکاران (۱۹) با به کارگیری افزونه ArcSWAT در محیط GIS توانستند با دقت بالایی فرآیند بارش رواناب را در منطقه چیلیکا واقع در شرق هند شیوه‌سازی کنند. بررسی‌های صورت گرفته شناور دهنده‌ی تبدیل ۶۰ درصدی بارش به رواناب در این منطقه بود.

در پژوهشی دیگر سبزواری و همکاران (۱۸) با به کارگیری سامانه ArcGIS و مدل HEC-HMS اقدام به شیوه‌سازی فرآیند بارش-رواناب در حوزه آبریز کسیلیان که فقد آمار ثبت شده بود، نمودند. نتایج مدل حاکی از دقت

### مقدمه

در بسیاری از پروژه‌های کنترل سیل، آبخیزداری و توسعه منابع آب محاسبات مربوط به دبی رودخانه بسیار حائز اهمیت است که این امر نیازمند مدل سازی جامع هیدرولوژیکی منطقه است.

جهت انجام این مدل سازی‌ها، در دسترس بودن داده‌های مکانی و زمانی قابل قبولی از قبیل توپوگرافی، پوشش گیاهی و جنس خاک، بارندگی سطح حوزه و هم چنین داده‌های هیدرومتری منطقه ضروری می‌باشد. ضرورت آگاهی از وضعیت منابع آب و نزولات جوی در حوزه‌های آبریز مختلف برای اجرای طرح‌های آبی از یک سو و عدم وجود شبکه قابل قبولی از استگاه‌های اندازه‌گیری پارامترهای هواشناسی و آب‌شناسی از سوی دیگر اهمیت استفاده از روش‌های غیرمستقیم برای محاسبه حجم رواناب در حوزه‌های آبریز را بیش از پیش آشکار می‌سازد. از سوی دیگر، طراحی سازه‌های آبی مورد نیاز رودخانه‌ها از جمله پل و آببند، نیازمند پیش‌بینی سیلاب‌های عظیم منطقه است؛ لذا افزایش دقت در محاسبه این سیلاب‌ها باعث کاهش هزینه‌های ساخت یک سازه و هم چنین کاهش خسارت وارد به آن سازه در صورت بروز سیلاب می‌شود.

در این راستا تحقیقاتی توسط محققین داخل و خارج کشور صورت پذیرفته است. مک‌کول و اگت (۱۳) به پیش‌بینی تغییر الگوی کاربری اراضی در حوزه Kitatis در

در پژوهش حاضر تعیین گروههای هیدرولوژیکی خاک حوزه آبخشنا واقع در بردسیر کرمان که یکی از اساسی‌ترین شاخص‌ها برای تخمین حجم و پیک سیلاپ منطقه است، مورد بررسی قرار گرفته است. در حوزه مذکور، به استنای یک زیر حوزه، گروههای هیدرولوژیکی خاک در دسترس نبوده که در ابتدا این مقادیر با استفاده از روش پیشنهادی دلبری و همکاران (۵) که بر اساس شب منطقه و ویژگی‌های ژئومورفولوژیکی خاک انجام شد که تطبیق خوبی با دقت متوسط ۸۷ درصدی با مقادیر اندازه‌گیری شده در زیر حوزه با داده‌های معلوم داشت. سپس با استفاده از مقادیر تخمین زده شده گروههای هیدرولوژیک خاک و نقشه کاربری اراضی شماره منحنی زیر حوزه‌ها محاسبه و در نهایت این مقادیر با استفاده از نرم‌افزار HEC-HMS واسنجی شد.

### مواد و روش‌ها

#### منطقه‌ی مورد مطالعه و داده‌های مربوطه

حوزه آبریز آبخشنا با مساحتی بالغ بر ۱۰۲۱ کیلومتر مربع در شهرستان بردسیر از استان کرمان واقع شده است. این منطقه دارای اقلیمی نیمه‌خشک می‌باشد که متوسط بارش سالانه آن ۲۱۲ میلی‌متر می‌باشد. در شکل یک موقعیت جغرافیایی این منطقه قابل مشاهده می‌باشد. داده‌های ذیل که مربوط به حوزه آبریز آبخشنا طی سال‌های آب ۸۴-۸۵ تا ۹۱-۹۲ می‌باشد.

۱- دبی خروجی مشاهداتی روزانه که در خروجی حوزه ثبت شده است.

۲- تبخیر و تعرق روزانه ثبت شده در هفت ایستگاه که به مقدار متوسط ماهانه تبدیل شدنند.

۳- بارش روزانه ثبت شده در نه ایستگاه داخل و خارج حوزه ایستگاه‌های مذکور در شکل یک نشان داده شده است. همچنین جدول یک مقدار متوسط بارش و تبخیر سالانه را نشان می‌دهد. این داده‌ها پس از تصحیحات لازم مورد استفاده قرار گرفتند.

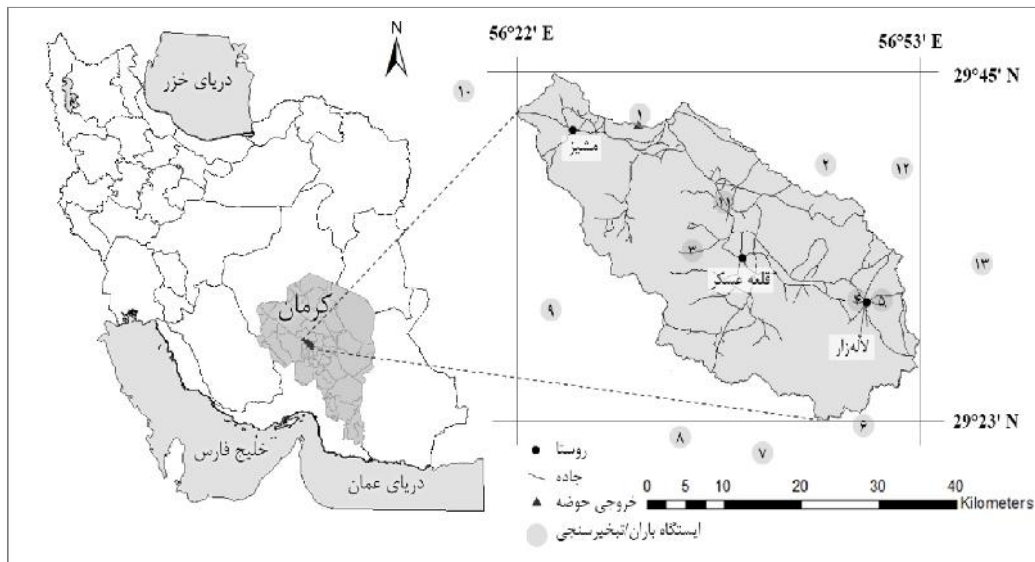
مناسب این تخمین بود. میزان خطای تخمین پیک سیلاپ در تکرخاده‌ای مورد بررسی، به طور متوسط بین ده تا ۱۵ درصد بود که مقادیر قابل قبولی می‌باشد. جهانگیر و همکاران (۹) با بهره‌گیری از شبکه عصبی مصنوعی فرآیند بارش-رواناب را برای حوزه معرف کاره شبیه‌سازی نموده و نتایج را با مدل HEC-HMS مقایسه کردند. نتایج نشان دهنده‌ی این موضوع بودند که گرچه در سطح ۹۹ درصد، تفاوت معنی‌داری میان دو روش وجود نداشت اما مقایسه عملکرد شبکه و مدل به کار رفته نشان داد که در تمام پارامترها دقت روش شبکه عصبی مصنوعی از مدل HEC-HMS بیش‌تر بود. شاههوری و سامانی (۱۸) اقدام به واستنجی خود کار پارامترهای حوزه آبریز مهران در استان هرمزگان با استفاده از الگوریتم ژنتیک نمودند. نتایج نشان داد که تلفیق الگوریتم ژنتیک و روش اشتایدر برای پیش‌بینی مشخصات حوزه‌ها روش مناسبی بوده و با استفاده از این روش، هیدروگراف مشاهده‌ای و تابع هدف می‌توان مشخصات حوزه را به دست آورد. تحقیقات دیگری نیز توسط محمودیان و همکاران (۱۲)، خلیقی (۱۰) و بشارتی (۲) صورت گرفته که همگی دلالت بر توانایی بالا مدل HEC-HMS در شبیه‌سازی تک رخدادهای بارش رواناب دارند.

یکی از مشکلاتی که محققین در تحقیقات مرتبط با محاسبه و پیش‌بینی سیلاپ با آن روپرتو هستند، عدم وجود مجموعه داده‌های کافی هیدرولوژیکی می‌باشد. از مهم‌ترین پارامترهای مورد نیاز در برآورد سیلاپ یک منطقه، مقدار شماره منحنی مربوط به خاک آن می‌باشد. تعیین شماره منحنی معمولاً از طریق علاوه بر صرف هزینه و وقت زیاد، نیازمند کالیبره کردن مجدد می‌باشد (۱۶، ۱۵). یکی از روش‌های تخمین این داده‌ها استفاده از سایر ویژگی‌ها و خصوصیات منطقه می‌باشد. دلبری و همکاران (۶) با استفاده از ویژگی‌های ژئومورفولوژیک منطقه و شب مناسبی توانستند گروههای هیدرولوژیکی خاک را با دقت مناسبی تخمین زده و در نهایت شماره منحنی خاک منطقه را با تلفیق گروه هیدرولوژیک خاک با نقشه کاربری اراضی به دست آورند.

جدول ۱- ایستگاه‌های باران سنجی و تبخیر سنجی حوزه آبریز آبخشنا

Table 1. Rain gauge and evaporative gauge stations in Abbakhsha watershed

| شماره | نوع        | ایستگاه       | متوسط سالانه (mm) |
|-------|------------|---------------|-------------------|
| ۱     | باران سنجی | گذار زارچوئیه | ۱۱۹/۴             |
| ۱     | تبخیر سنجی | گذار زارچوئیه | ۸۳/۲              |
| ۲     | باران سنجی | سنگ صیاد      | ۱۸۲/۲             |
| ۳     | باران سنجی | بیدخون        | ۲۸۶/۹             |
| ۴     | باران سنجی | لاله زار      | ۱۸۳/۱             |
| ۴     | تبخیر سنجی | لاله زار      | ۷۷/۵              |
| ۵     | باران سنجی | چقر آباد      | ۱۹۹/۳             |
| ۶     | باران سنجی | رابر          | ۲۲۸/۰             |
| ۶     | تبخیر سنجی | رابر          | ۸۵/۸              |
| ۷     | باران سنجی | تلخه چار      | ۲۷۷/۳             |
| ۸     | باران سنجی | کیسکان        | ۲۰۲/۷             |
| ۹     | باران سنجی | چهارطاق       | ۲۷۱/۲             |
| ۱۰    | تبخیر سنجی | آب تنگوئیه    | ۱۱۱/۲             |
| ۱۱    | تبخیر سنجی | علی آباد      | ۷۷/۷              |
| ۱۲    | تبخیر سنجی | چاری          | ۹۷/۸              |
| ۱۳    | تبخیر سنجی | هفت کوسک      | ۷۳/۹              |



شکل ۱- نقشه موقعیت حوزه و ایستگاههای باران‌سنجی و تبخیر سنجی  
Figure 1. Location maps of watershed and rain gauge and evaporation gauge stations

تخمین زده شدند که محاسبات بر اساس شب منطقه و ویژگی‌های ژئومورفولوژیکی منطقه می‌باشد. دسته‌بندی گروههای هیدرولوژیکی خاک بر اساس روش ذکر شده در جدول دو آورده شده است (۵). لازم به ذکر است که شب منطقه در جدول بر اساس نوع خاک منطقه متفاوت است. پس از تهیه نقشه گروههای هیدرولوژیکی خاک و با در اختیار داشتن نقشه کاربری، شماره منحنی نفوذ مربوط به هر کدام از زیرحوزه‌ها در محیط نرم‌افزاری ArcGIS تهیه و آماده‌سازی‌های لازم جهت ورود به محیط HEC-HMS با استفاده از افزونه HEC-GeoHMS صورت گرفت. گام‌های طراحی مدل در شکل دو مشاهده می‌شود. هم چنین عکس هوایی منطقه، نقشه‌ی کاربری اراضی و سایه روش منطقه به ترتیب در شکل‌های ۳، ۴ و ۵ قابل مشاهده است.

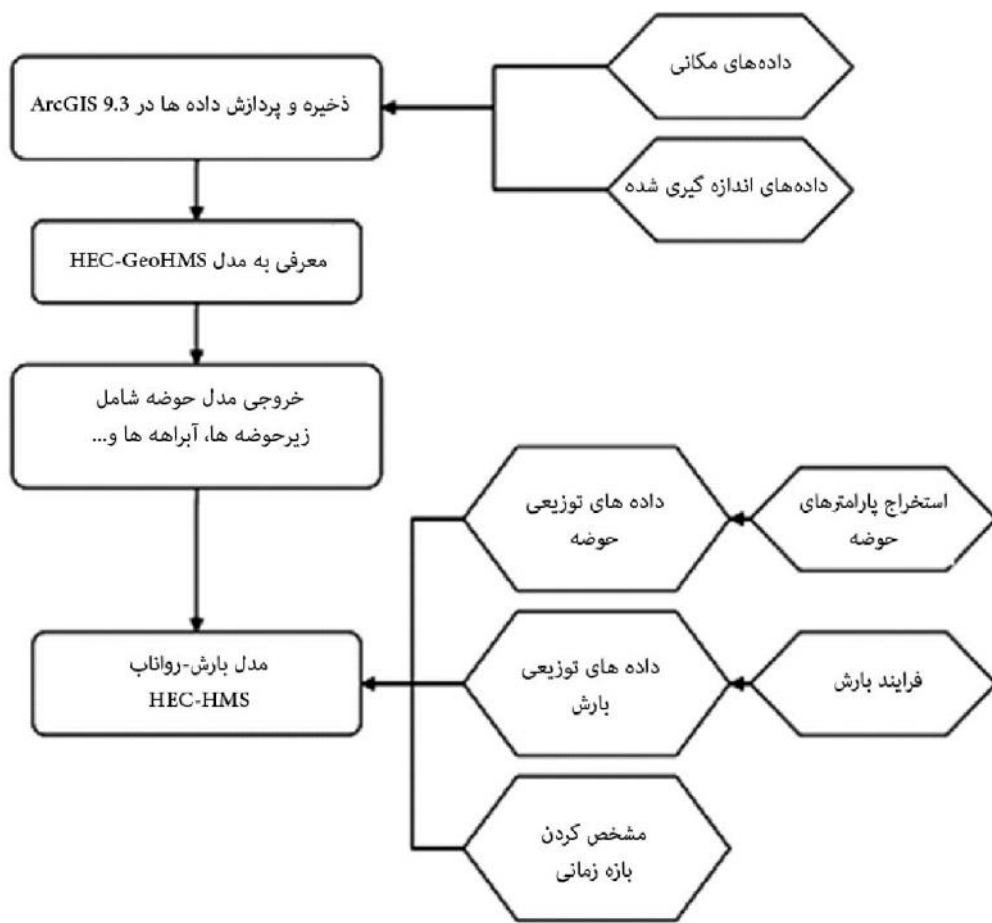
در ادامه داده‌های مورد نیاز ابتدا وارد محیط ArcGIS شده سپس با هم تلفیق و بر مبنای سیستم مختصات WGS1984 مرجع دهی شدند. سپس شبکه جریان با استفاده از نقشه DEM حوزه بهینه‌سازی شد. این کار توسط الحقیقی HEC-GeoHMS طی فرآیندی که به نام Terrain Preprocessing شناخته می‌شوند صورت گرفت. اهمیت استفاده از نقشه DEM با تفکیک‌پذیری بالا از آنچاست که در صورت عدم قابلیت تفکیک‌پذیری بالا مسیر جریان ساخته شده با مسیر اصلی اختلاف زیادی داشته و بالطبع حوزه به طور صحیح ترسیم نمی‌شود.

تهیه نقشه گروههای هیدرولوژیکی خاک به دلیل عدم دسترسی به گروه‌های هیدرولوژیکی خاک حوزه‌های مذکور به استثناء یک زیرحوزه از هر کدام، این اطلاعات به وسیله روش ابداعی توسط دلیری و همکاران (۵)

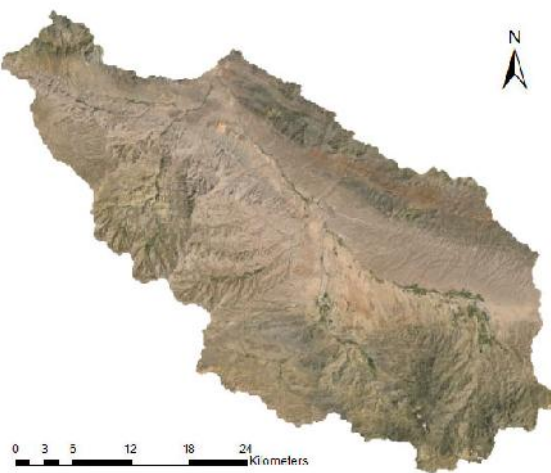
جدول ۲- تعیین گروه هیدرولوژیکی خاک با توجه نوع رخسار و شب

Table 2. Soil hydrologic group determination based on geomorphologic facies and slope

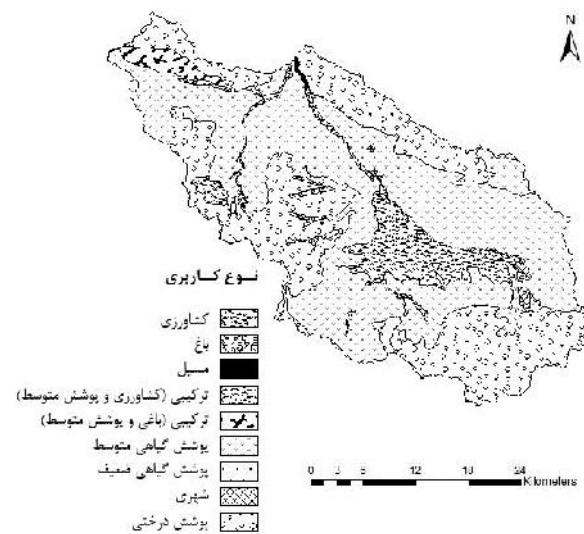
| گروههای هیدرولوژیکی خاک |   |   |   | نوع رخسار                                    |
|-------------------------|---|---|---|--|
| D                       | C | B | A |  |
| *                       | * | * | * | دامنه منظم با شبکه کمتر از %S                |
| *                       | * | * | * | دامنه منظم با شبکه بیشتر از %S               |
| *                       | * | * | * | فراسایش ابراهه‌ای، سطحی، شیاری، بدلند و لنزش |
| *                       | * | * | * | فراسایش انحلالی در اقلیم‌های مرطوب و سرد     |
| *                       | * | * | * | توده‌سنگی بدون درز و شکاف                    |
| *                       | * | * | * | توده‌سنگی درز و شکافدار و بیرون‌زدگی سنگی    |



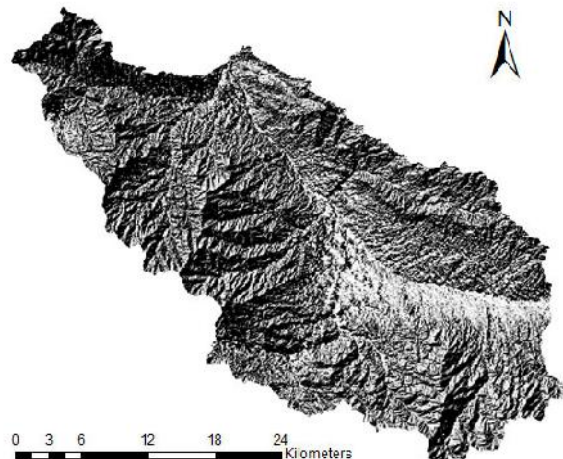
شکل ۲- گامهای طراحی مدل  
Figure 2. The design steps of the model



شکل ۳- عکس هوایی منطقه مورد مطالعه  
Figure 3. Aerial photo of the study area



شکل ۴- نقشه کاربری اراضی منطقه مورد مطالعه  
Figure 4. Landuse map of the study area



شکل ۵- نقشه سایه روشن منطقه مورد مطالعه  
Figure 5. Hillshade map of the study area

که بر اساس شماره منحنی خاک (CN) می‌باشد. پارامتر CN بر اساس کاربری پوشش اراضی، گروههای خاک، و شرایط هیدرولوژیکی خاک محاسبه می‌شود. روش SCS-CN به طور عمده برای تخمین رواناب حاصل از بارش در مدل سازی هیدرولوژیکی حوزه‌ها کاربرد دارد (۳). دلیل استفاده از این مدل در این تحقیق عمدتاً این بوده که این روش در نرم‌افزارهای مدیریت منابع آب تحت ویندوز از قبیل ArcGIS پردازش آسان تری دارند. در این تحقیق از روش ذکر شده، برای مدل سازی تک رخدادهای هیدرولوژیکی استفاده شد. تمرکز مدل سازی تک رخداد بر روی درک چگونگی پاسخ سیستم به یک تک بارش و مشخص کردن پارامترهای هیدرولوژیکی وابسته به آن است (۴). مدل SCS-CN را می‌توان با استفاده از روابط زیر تشریح کرد (۲۰):

**مدل سازی هیدرولوژیکی HEC-HMS** نسخه ۳/۵ توسط مهندسان ارتش آمریکا توسعه داده شده است. این مدل برای شبیه‌سازی بارش رواناب حوزه‌هایی با شبکه آبراهه درختی طراحی شده است (۱۶). مدل ذکر شده نیازمند پارامترهای مختلفی برای روش‌های مختلفی که جهت مدل سازی حوزه به کار می‌روند دارد. انتخاب این روش‌ها معمولاً بر اساس دقت مدل نظر و محدودیت داده‌های موجود صورت می‌پذیرد. جدول سه نشان‌دهنده‌ی روش‌های مربوط به قسمت‌های مختلف مدل سازی حوزه می‌باشد. شکل شش نیز مدل ساخته شده از دو حوزه را در محیط HEC-HMS نشان می‌دهد.

**مدل سازی نفوذ** روش شماره منحنی SCS<sup>۱</sup> اساساً یک روش تجربی است

$$\begin{aligned} P_e &= P - I_a \\ I_a &= rS \\ S &= \frac{2.540}{CN} - 25.4 \\ R &= \frac{(P - 508/CN + 5.08)^2}{P + 2023/CN - 20.32} \end{aligned}$$

رابطه (۲)  
رابطه (۳)

رابطه (۴)  
رابطه (۵)

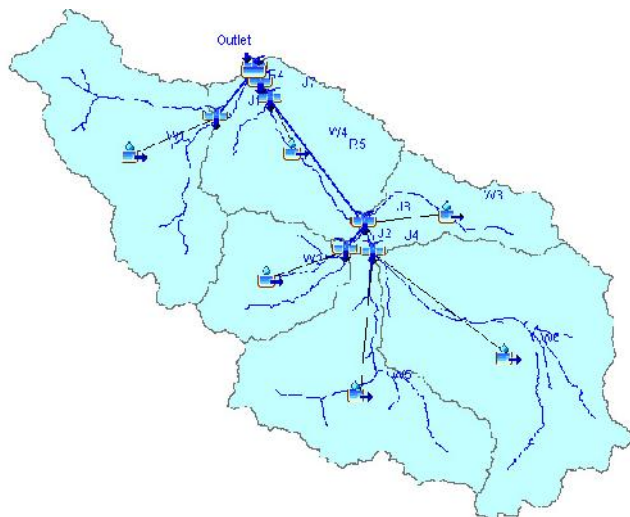
$$R = \frac{P_e^2}{P_e + S} \quad (1)$$

که در آن  $R$ : رواناب تجمیعی،  $P$ : بارش تجمیعی،  $P_e$ : بارش،  $I_a$ : ذخیره اولیه خاک،  $S$ : حداکثر نگهداری خاک،  $CN$ : شماره منحنی خاک، ضریب ذخیره اولیه خاک و  $r$ : مقدار پیش‌فرض  $= 0.2$  می‌باشد. که معادله یک به صورت زیر در می‌آید:

جدول ۳- روش‌های مریوط به قسمت‌های مختلف مدل‌سازی حوزه

Table 3. Related methods of different parts of the watershed modelling

| روش مورد استفاده | پارامتر مد نظر       |
|------------------|----------------------|
| پلی گون تیسن     | بارش                 |
| شماره منحنی      | نفوذ                 |
| SCS              | تبديل بارش به رواناب |
| هیدروگراف واحد   | روندیابی             |
| ماسکینگام        | جریان پایه           |
| دبي ثابت ماهانه  |                      |



شکل ۶- مدل ساخته شده در محیط HEC-HMS حوزه آبریز آبخیز

Figure 6. The designed model of the Abbakhsha in HEC-HMS

را به دست می‌آید. پس از محاسبه  $T_p$  و  $U_p$  معادله شکل بدون بعد به خود می‌گیرد. برای حوزه‌هایی که در آن‌ها زمان تأخیر اندازه گیری نشده است می‌توان آن را با استفاده از زمان تمرکز  $T_c$  تخمین زد.

$$t_{lag} = 0.6t_c \quad (8)$$

در نهایت هیدروگراف واحد از جدول بدون بعد که در آن مقادیر نسبت زمان ( $t/t_p$ ) در مقابل نسبت دبی هیدروگراف ( $U/U_p$ ) داده شده است، به دست می‌آید (۱).

#### مدل‌سازی روندیابی

برای روند یابی سیلان در رودخانه‌ها از روش ماسکینگام استفاده شد. مدل روندیابی ماسکینگام از تقریب تفاضل محدود معادله پیوستگی استفاده می‌کند (۲۰).

$$\left( \frac{I_{t-1} + I_t}{2} \right) - \left( \frac{O_{t-1} + O_t}{2} \right) = \left( \frac{S_t + S_{t-1}}{\Delta t} \right) \quad (9)$$

در این مدل، ذخیره به دو صورت ذخیره‌ی منشوری و ذخیره‌ی تیغه‌ای می‌باشد. ذخیره‌ی منشوری حجمی از آب

#### مدل‌سازی بارش-رواناب

برای تبدیل بارش به رواناب از روش هیدروگراف واحد SCS-UH یا SCS-UH استفاده شد. در روش پارامتر دبی پیک یک پارامتر بدون است. این روش به صورت زیر بیان می‌شود (۲۰).

$$U_p = 2.08 \frac{A}{T_p} \quad (6)$$

که پارامتر  $U_p$ : دبی پیک،  $A$ : مساحت حوزه و  $T_p$ : زمان رسیدن به اوج می‌باشد. در این معادله زمان رسیدن به اوج به صورت زیر بیان می‌شود:

$$T_p = \frac{t}{2} + t_{lag} \quad (7)$$

که در آن  $t$ : زمان بارش تجمیعی و  $t_{lag}$ : زمان تأخیر حوزه می‌باشد. در صورت معلوم بودن زمان تأخیر، بر اساس معادله هفت،  $T_p$ : را محاسبه می‌گردد و با استفاده از معادله شش  $U_p$

### واسنجی مدل

بهینه‌سازی پارامترهای حوزه از طریق چهار تابع هدف میانگین ریشه مربعات خطای مجموع قدر مطلق باقیماندها، خطای در درصد حجم و لگاریتم میانگین ریشه مربعات خطای است صورت گرفت. بعد از مشخص نمودن مقادیر اولیه برای پارامتر مورد نظر، هیدروگراف بهینه‌سازی شده و مقدار تابع هدف را محاسبه می‌شود. در صورت برآورده نشدن تابع هدف مقادیر دیگری برای پارامترهای مورد نظر در سعی و خطای بعدی در نظر گرفته می‌شود و تا زمان برآورده نشدن تابع هدف این عمل تکرار می‌شود (۱۱).

### تابع هدف (RMS) Peak-Weighted Root Mean Square (RMS)

#### Error

این روش، روش میانگین ریشه مربعات خطای است. این تابع مقدار وزنی بیشتری را برای خطاهای بزرگتر و مقادیر وزنی کمتری را برای خطاهای کوچکتر در نظر می‌گیرد و در مجموع وزن کلی بیشتری را برای خطاهای نزدیک به دبی اوج در نظر می‌گیرد. در این تابع یک ضریب وزنی بر اساس میانگین دبی برای اصلاح ریشه میانگین مربعات محاسبه می‌شود. این ضریب زمانی که مقدار دبی از دبی میانگین بیشتر باشد باشد یک و در صورتی که کوچکتر از دبی میانگین باشد بین ۰.۵ تا ۱ که در نظر گرفته می‌شود (۸). تابع هدف مذبور به صورت زیر در نظر گرفته می‌شود:

$$Z = \sqrt{\frac{\sum_{t=1}^n (Q_0(t) - Q_s(t))^2 \frac{Q_0(t) + Q_A}{2Q_A}}{n}} \quad (12)$$

در رابطه بالا Z: مقدار تابع هدف،  $Q_0(t)$ : دبی مشاهداتی در هر زمان t،  $Q_s(t)$ : دبی محاسباتی در هر زمان t،  $Q_A$ : دبی میانگین مشاهداتی و n: تعداد داده‌های مشاهداتی است.

### تابع هدف Sum of Absolute Residuals

در این تابع هدف نیز مانند تابع هدف قبل، مقادیر وزنی بیشتری را برای خطاهای بزرگتر و مقادیر وزنی کوچکتری را برای خطاهای کوچکتر در نظر می‌گیرد. این تابع، مجموع مربعات اختلافهای بین دبی‌های مشاهداتی و محاسباتی را محاسبه می‌کند (۱۷). این تابع هدف به صورت زیر تعریف می‌شود:

$$Z = \sum_{t=1}^n |Q_0(t) - Q_s(t)| \quad (13)$$

پارامترهای موجود در این رابطه مانند رابطه قبل محاسبه می‌شود.

### تابع هدف Percent Error Volume

در این تابع هدف، مقادیر وزنی برابر با اختلافهای کوچک و بزرگ بین داده‌های محاسباتی و مشاهداتی در نظر گرفته می‌شود. این تابع هدف، مجموع قدر مطلق اختلافهای بین دبی‌های محاسباتی و مشاهداتی را محاسبه می‌کند. این تابع هدف به صورت زیر تعریف می‌شود:

$$Z = \sum_{t=1}^n |Q_0(t) - Q_s(t)| \quad (14)$$

پارامترهای موجود در این رابطه مانند رابطه قبل محاسبه می‌شود.

است که به وسیله‌ی تراز سطح آب پروفیل جریان مانندگار آب مشخص می‌شود، در حالی که ذخیره‌ی تیغه‌ای حجم اضافه‌ای از آب است که زیر پروفیل موج سیلان قرار می‌گیرد. در زمان افزایش تراز سطح سیلان، ذخیره‌ی تیغه‌ای مشتب است و به ذخیره‌ی منشوری اضافه می‌شود و در زمان فروکش سیلان ذخیره‌ی تیغه‌ای منفی است که از ذخیره‌ی منشوری کسر می‌شود.

مقدار حجم ذخیره‌ی منشوری برابر است با میزان دبی خروجی، O، ضرب در مدت زمان گذر آب از رودخانه، K. در مقابل، مقدار حجم ذخیره‌ی تیغه‌ای برابر با حاصل ضرب اختلاف دبی ورودی و خروجی در ضرب در مدت زمان گذر آب از رودخانه می‌باشد. بنابراین مدل ماسکینگام میزان ذخیره را به صورت زیر بیان می‌کند.

$$S_t = KO_t + KX(I_t - O_t) = K[XI_t + (1-X)O_t] \quad (10)$$

که در معادله‌ی بالا، K: ضریب متناسب با مدت زمان گذر آب از رودخانه و X: یک ضریب بدون بعد می‌باشد (0.5).

کمیت  $XI_t + (1-X)O_t$  همان میزان دبی می‌باشد. اگر ذخیره‌ی کanal از پایین دست کنترل شود، مانند مخازن سدها، مقدار X برابر صفر خواهد بود که در این صورت معادله ده به صورت  $S_t = KO_t$  در خواهد آمد که یک مدل خطی مخزن می‌باشد. اگر  $X=0.5$  باشد، وزن داده شده به دبی ورودی و خروجی یکسان خواهد بود و نتیجه‌ی آن یک موج پخش شونده‌ی یکسان خواهد بود که در طول رودخانه حرکت می‌کند.

با ترکیب معادلات نه و ده به معادله‌ی ۱۱ خواهیم رسید که با معلوم بودن مقادیر K و X می‌توان مقدار  $O_t$  را محاسبه کرد (۱۵).

$$\text{رابطه } (11)$$

$$O_t = \left( \frac{\Delta t - 2KX}{2K(1-X) + \Delta t} \right) I_t + \left( \frac{\Delta t - 2KX}{2K(1-X) + \Delta t} \right) I_{t-1} + \left( \frac{2K(1-X) - \Delta t}{2K(1-X) + \Delta t} \right) O_{t-1}$$

به دلیل این که در این بازه آبی به رودخانه اضافه و یا از آن کاسته نمی‌شود و عرض رودخانه کم و رودخانه دارای شبیه متوسط است برای تمامی شبیه سازی‌ها ضریب X برابر  $0.3$  در نظر گرفته شد (۱۶). برای پارامتر K در ابتدا مقدار متوسط  $0.3$  در نظر گرفته شد که در انتهای واسنجی شد و مقدار بهینه آن به دست آمد.

در صورتی که مقادیر NOF و EF به ترتیب صفر و یک باشد، دبی‌های مشاهداتی و محاسباتی با هم برابرند.

### نتایج و بحث

همان‌گونه که در جدول دو مشاهده می‌گردد، تعیین گروه‌های هیدرولوژیکی خاک نیازمند شبیه منطقه و همچنین وضعیت فرسایش منطقه می‌باشد. با توجه به بازدیدهای میدانی صورت گرفته، بجز در مسیر رودخانه‌ها، سطح حوزه مورد فرسایش قرار نگرفته بود و با توجه به ناجیز بودن مساحت رودخانه‌ها نسبت به کل مساحت حوزه‌ها، از در نظر گرفتن وجود فرسایش در سطح منطقه صرف‌نظر گردید. همچنین با توجه به اینکه در صورت وجود فرسایش خاک در گروه هیدرولوژیک C یا D قرار می‌گیرد، عدم وجود گروه هیدرولوژیک آن موجود بودند، موجب تایید این نکته می‌باشد. جهت تعیین شبیه مناسب به عنوان نشان‌دهنده مرز گروه هیدرولوژیک A و B نقشه‌ی مربوط به شبیه خاک برای بیشتر و کمتر از شبیه‌های شش، هشت، الی ۲۴ درصد برای کل دو حوزه ترسیم شد. به عبارت دیگر به عنوان مثال در مرحله اول شبیه کمتر از شش درصد در گروه هیدرولوژیکی B و بیشتر از شش درصد در گروه هیدرولوژیکی A دسته‌بندی گردید و با توجه به این که اطلاعات مربوط به یک زیرحوزه در هر کدام از حوزه‌ها معلوم بود، میزان خطا محاسبه شد.

### RMS log Error تابع هدف

در این تابع هدف مانند RMSE مقدار وزنی بیشتری برای خطاهای بزرگ‌تر و مقادیر وزنی کمتری برای خطاهای کوچک‌تر در نظر گرفته می‌شود. با این تفاوت که به جای استفاده از اختلاف دبی‌های مشاهداتی و محاسباتی، از اختلاف بین زمان‌های محاسباتی و مشاهداتی استفاده می‌شود (۱۷).

### اعتبارسنجی مدل

برای انجام آزمون نکوبی برازش از دو آزمون NOF و EF بین مقادیر مشاهداتی و محاسباتی استفاده شد که مقادیر آن‌ها به ترتیب به صورت زیر می‌باشد (۱۵). رابطه (۱۵)

$$NOF = \frac{1}{\bar{Q}_{obs}} \sqrt{\frac{1}{n} \sum_{i=1}^n (Q_{obs,i} - Q_{sim,i})^2} \quad (16)$$

$$EF = 1 - \frac{\sum_{i=1}^n (Q_{obs,i} - Q_{sim,i})^2}{\sum_{i=1}^n (Q_{obs,i} - \bar{Q}_{obs})^2}$$

که در این معادلات  $Q_{obs,i}$ : دبی مشاهداتی،  $Q_{sim,i}$ : دبی محاسباتی،  $\bar{Q}_{obs}$ : میانگین دبی مشاهداتی و n: تعداد نقاط داده‌های مشاهداتی یا محاسباتی می‌باشد. شایان ذکر است که

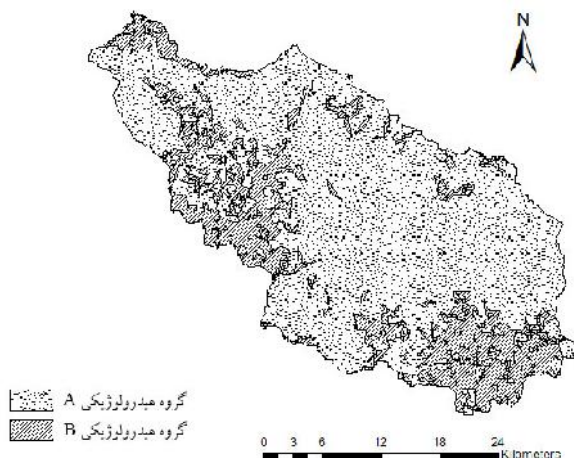
جدول ۴- درصد دقت تعیین گروه‌های هیدرولوژیک خاک در شبیه‌های مختلف

Table 2. The percentage accuracy of hydrological soil group detection in different slopes

| B     | A     | درصد شبیه |
|-------|-------|-----------|
| ۴۸/۶۲ | ۵۲/۴۶ | ۶         |
| ۵۵/۵۷ | ۶۵/۸۷ | ۸         |
| ۶۳/۱۴ | ۷۶/۶۵ | ۱۰        |
| ۶۹/۸۲ | ۷۹/۸۳ | ۱۲        |
| ۷۵/۷۵ | ۸۲/۹۴ | ۱۴        |
| ۷۹/۴۶ | ۸۷/۲۶ | ۱۶        |
| ۸۳/۴۰ | ۹۱/۸۳ | ۱۸        |
| ۷۸/۶۹ | ۸۵/۲۸ | ۲۰        |
| ۷۳/۵۲ | ۸۱/۴۱ | ۲۲        |
| ۶۷/۶۳ | ۷۶/۲۶ | ۲۴        |

شبیه‌های مذکور انجام پذیرفت. نقشه مربوط به این گروه‌بندی‌ها در شکل هفت قبل مشاهده است.

با توجه به این که بالاترین دقت مربوط به شبیه ۱۸ درصد بود، دسته‌بندی گروه‌های هیدرولوژیکی خاک حوزه بر اساس



شکل ۷- نقشه گروههای هیدرولوژیکی تخمینی حوزه آبریز آب بخشا  
Figure 7. Estimated hydrological group map of Abbakhsha watershed

فاکتورهای مهمی چون مشخصه‌های بارش (شدت، مدت و غیره)، ویژگی‌های حوزه (اندازه، کاربری اراضی و غیره) و کامل بودن داده‌های ثبت شده بارش و دبی می‌باشد همان‌طور که در جدول پنج مشاهده می‌شود، هشت بارش برای واسنجی انتخاب و چهار بارش برای ارزیابی کنار گذاشته شد که مقادیر مربوط به دو آزمون نکوبی برازش برای چهارتابع هدف ذکر شده در این جدول قابل مشاهده می‌باشند.

با تلفیق نقشه گروههای هیدرولوژیکی خاک و نقشه کاربری اراضی و تهیه نقشه شماره منحنی خاک، و هم چنین بهره‌گیری از سایر پارامترهای هیدرولوژیک حوزه، شبیه‌سازی رواناب سطح حوزه صورت پذیرفت. ثبت داده‌های رواناب حوزه به صورت روزانه صورت گرفته بود، در نتیجه شبیه‌سازی‌های انجام شده نیز به صورت یک روزه صورت گرفت و انتخاب بارش برای شبیه‌سازی و واسنجی به

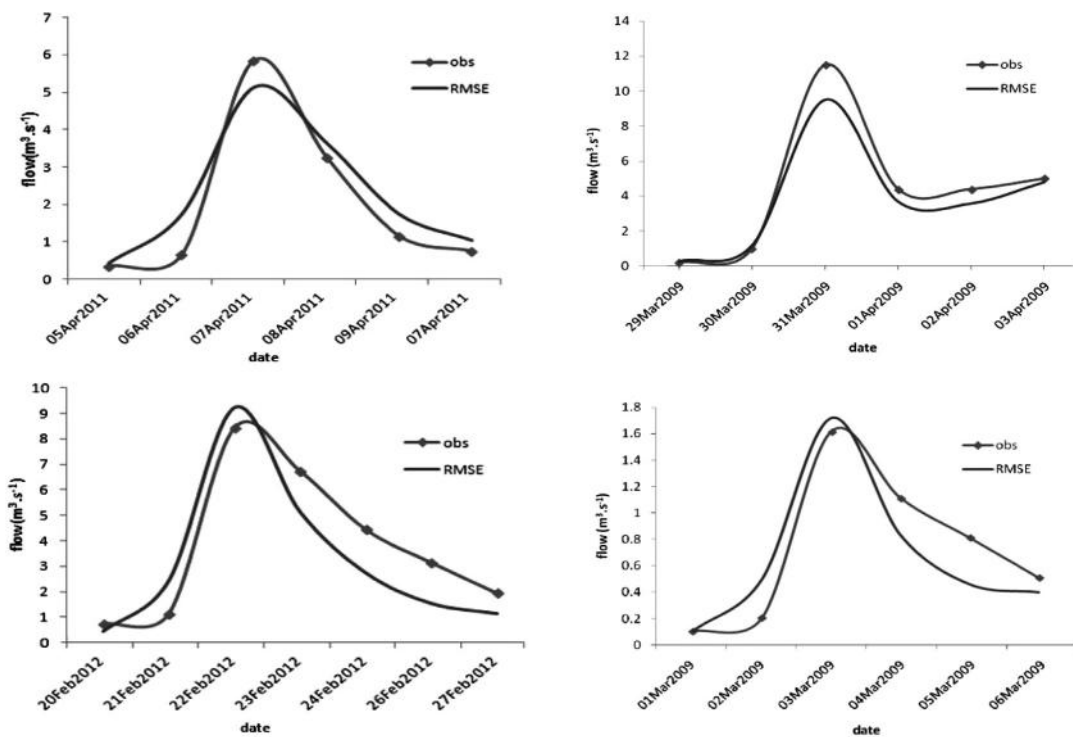
جدول ۵- مقادیر آزمون نکوبی برازش برای چهارتابع هدف

Table 5. Goodness of fit test values for four objective functions

| تابع هدف ۴ |       | تابع هدف ۳ |       | تابع هدف ۲ |       | تابع هدف ۱ |       | توضیحات         | تاریخ رویداد |
|------------|-------|------------|-------|------------|-------|------------|-------|-----------------|--------------|
| EF         | NOF   | EF         | NOF   | EF         | NOF   | EF         | NOF   |                 |              |
| ۰/۱۸۱      | ۰/۰۹۳ | ۰/۰۹۳      | ۰/۲   | ۰/۱۸۲      | ۰/۰۸۱ | ۰/۲۲۵      | ۰/۰۷۹ | واسنجی          | 16feb2006    |
| ۰/۱۳۴      | ۰/۴   | ۰/۱۶       | ۰/۲۱  | ۰/۱۴۸      | ۰/۴۶۸ | ۰/۲۴۸      | ۰/۳۹۴ | واسنجی          | 10feb2007    |
| ۰/۵۸۴      | ۰/۷۴۷ | ۰/۸        | ۰/۶۱۸ | ۰/۰۵۸      | ۰/۴۳۶ | ۰/۰۵۸      | ۰/۳۶  | ارزیابی         | 26mar2007    |
| ۰/۱۴۲      | ۰/۱۴  | ۰/۰۸۵      | ۰/۶۲۶ | ۰/۱۳۱      | ۰/۳۴۶ | ۰/۱۸       | ۰/۱۸  | واسنجی          | 05jan2008    |
| ۰/۲۵۴      | ۰/۷۰۵ | ۰/۵۵۴      | ۰/۵۴۵ | ۰/۳۷۹      | ۰/۶۴۳ | ۰/۶۶۱      | ۰/۴۷۵ | ارزیابی         | 01mar2009    |
| ۰/۵۷۴      | ۰/۶۴۴ | ۰/۹۸۲      | ۰/۱۳۱ | ۰/۶۶۲      | ۰/۱۹  | ۰/۹۲۹      | ۰/۲۶۱ | واسنجی          | 29mar2009    |
| ۰/۱۷۲      | ۰/۱۸۵ | ۰/۴۱       | ۰/۱۵۶ | ۰/۱۲۹      | ۰/۱۱۶ | ۰/۱۱۸      | ۰/۱۶۸ | واسنجی          | 04apr2009    |
| ۰/۰۹۲      | ۰/۶۴۷ | ۰/۵۵۱      | ۰/۲۵۱ | ۰/۳۱۴      | ۰/۵۲۴ | ۰/۴۷۵      | ۰/۲۳۳ | واسنجی          | 12feb2010    |
| ۰/۳۵۱      | ۰/۲۸۷ | ۰/۴۱۲      | ۰/۵۴۱ | ۰/۱۴۱      | ۰/۲۵۴ | ۰/۷۳۶      | ۰/۴۲۶ | واسنجی          | 01mar2010    |
| ۰/۳۸۷      | ۰/۶۵۴ | ۰/۰۸۷      | ۰/۶۱۴ | ۰/۷۶۱      | ۰/۳۹  | ۰/۵۵۸      | ۰/۳۸۷ | ارزیابی         | 18mar2011    |
| ۰/۰۸۱      | ۰/۱۲۹ | ۰/۶۴۴      | ۰/۱۱۴ | ۰/۵۶       | ۰/۷۴۱ | ۰/۰۸۸      | ۰/۲۴  | واسنجی          | 07apr2011    |
| ۰/۴۱۷      | ۰/۵۱۳ | ۰/۱۸۷      | ۰/۵۸۷ | ۰/۷۹       | ۰/۴۷۱ | ۰/۹۹۷      | ۰/۲۱  | ارزیابی         | 22feb2012    |
| ۰/۳۲       | ۰/۴۲  | ۰/۴۰       | ۰/۴۳  | ۰/۵۲       | ۰/۳۵  | ۰/۰۵۵      | ۰/۲۸  | مقدار متوسط خطأ |              |

هشت چهار هیدروگراف که دو مورد مربوط به واسنجی شده و دو مورد مربوط به ارزیابی به وسیله‌ی روش RMSE می‌باشد، مشاهده می‌شود.

با توجه به نتایج مشاهده شده می‌توان تابع RMSE (تابع هدف یک) را به عنوان بهترین تابع این حوزه در نظر گرفت. جدول شش نشان‌دهنده‌ی مقادیر دبی پیک مشاهداتی و محاسباتی بر اساس روش فوق می‌باشد. همچنین در شکل



شکل ۸- به ترتیب هیدروگراف مربوط به دو تکرخاد واسنجی و هیدروگراف مربوط به دو تکرخاد ارزیابی  
Figure 8. Hydrographs of the two events of calibration and evaluation, respectively

جدول ۷- سمت راست: مقادیر تصحیح شده CN; سمت چپ: مقادیر تصحیح شده K

Table 7. Right panel: the revised values of CN; left panel: the revised values edited of K

| زیرحوزه | شماره منحنی اولیه | شماره منحنی تصحیح شده | رود | K اویله | K تصحیح شده |
|---------|-------------------|-----------------------|-----|---------|-------------|
| W1      | ۶۱/۱۳             | ۵۸/۵۱۲                | R1  | ۰/۰۱۶   | ۰/۰۱۶       |
| W2      | ۴۶/۹۱۳            | ۴۶/۲۱۳                | R2  | ۰/۰۱۶   | ۰/۰۱۶       |
| W3      | ۵۴/۵۰۵            | ۷۸/۲۲۷                | R3  | ۰/۰۱۶   | ۰/۰۱۶       |
| W4      | ۵۷/۴۹۹            | ۵۴/۹۷۱                | R4  | ۰/۰۸۴   | ۰/۰۸۴       |
| W5      | ۶۰/۵۶۵            | ۶۶/۱۴۵                | R5  | ۰/۰۸۴۱  | ۰/۰۸۴۱      |
| W6      | ۶۲/۱۷۷            | ۴۲/۱۲۹                | R6  | ۰/۰۱۶   | ۰/۰۱۶       |
| -       | -                 | -                     | R7  | ۰/۰۸۷   | ۰/۰۸۷       |
| -       | -                 | -                     | R8  | ۰/۰۷۹۶  | ۰/۰۷۹۶      |

به توانایی مدل HEC-HMS در مدل‌سازی سیلاب بی‌برد که صحبت این امر با عنایت به یافته‌های حاصل از پژوهش سایر محققین مورد تایید قرار می‌گیرد (۲،۴،۹،۱۲). همچنین با توجه به اطلاعات دلیری و همکاران (۵) ویژگی‌های ژئومورفو‌لوجیکی منطقه را در تخمین اولیه گروههای هیدرولوژیکی خاک می‌توان مورد استفاده قرار داد که با نتایج حاصل از این تحقیق همسو می‌باشد.

با توجه به اینکه یکی از اساسی‌ترین مشکلات پیش رو محققین در زمینه مطالعات هیدرولوژیکی، فقدان مجموعه جامع و کاملی از داده‌های هیدرولوژیکی می‌باشد، تخمین این داده‌ها بر اساس سایر ویژگی‌های منطقه بسیار حائز اهمیت می‌باشد. در این راستا استفاده از سیستم‌های اطلاعات جغرافیایی نقش بسزایی دارد. علی‌الخصوص که ارتباط بین این سیستم‌ها و سیستم‌های مدل‌سازی هیدرولوژیکی در حال افزایش است. در پژوهش حاضر گروههای هیدرولوژیکی خاک

با توجه به نتایج حاصل از جدول هفت برای مقادیر اولیه و تصحیح شده شماره منحنی نشان می‌دهد که کمترین میزان تغییر در زیرحوزه W<sub>2</sub> با مقادیر اندازه‌گیری شده مربوط به گروه هیدرولوژیک خاک می‌باشد (۴۶/۹۱۳ در برابر ۴۶/۹). هم چنین بیشترین میزان تغییر مربوط به زیرحوزه W<sub>6</sub> است که بزرگ‌ترین و دورترین زیرحوزه مربوط به حوزه اصلی می‌باشد (شکل ۶). تفاوت قابل توجه در نتایج جدول ۷ برای ضریب K قبل و بعد از تصحیح میان این مطلب است که استفاده از مقادیر اولیه K برابر با ۰/۰۳ در تحقیق حاضر بیشتر از حد معمول بوده است. ضریب K را می‌توان مبنی زمان طی کرده آب در طول بازه (Reach) دانست (۱). با توجه به اینکه طول بازه‌های رود مشخص شده به جز در R<sub>4</sub> و R<sub>5</sub> بسیار کوتاه بوده، و در نتیجه باید انتظار مقادیر کوچکی را برای K در این بازه‌ها داشت که موضوع را به پیش‌بینی می‌توان در جدول ۷ مشاهده نمود. با توجه به نتایج حاصله از این تحقیق می‌توان

انتخاب شد. در ادامه با انتقال مدل ساخته شده به محیط HEC-HMS و استنجی مدل با استفاده از هشت تکرخداد سیلاب و هم چنین ارزیابی آن بوسیله چهار تکرخداد دیگر، کالبیراسیون لازم صورت پذیرفت. مقادیر خطای محاسبه شده مربوط به هیدرولوگرافهای سیلاب منطقه صحت این امر را موردن تایید قرار می‌دهند. با توجه به عدم وجود شکه قابل قبولی از ایستگاههای اندازه‌گیری پارامترهای هواشناسی و آبشناسی و هم چنین فقدان مجموعه اطلاعات جامع و کاملی از خصوصیات هیدرولوژیکی حوزه‌های سطح کشور، استفاده از روش‌های غیر مستقیم در تخمین اولیه سیلاب منطقه را می‌توان مدنظر قرار داد.

خوازه آببخشا با استفاده از داده‌های مربوط به شبیه منطقه تخمین زده شدند و پس از تهیه نقشه شماره منحنی خاک جهت واستنجی انجام محاسبات هیدرولوژیکی به سیستم مدل سازی هیدرولوژیکی انتقال یافت. در حوزه مذکور، داده‌های مربوط به گروههای هیدرولوژیکی خاک در پنج زیرحوزه از شش زیرحوزه دردسترس نبود. جهت تعیین شبیه مناسب به عنوان نشان‌دهنده مرز گروه هیدرولوژیک A و B نقشه‌ی مربوط به شبیه خاک برای بیشتر و کمتر از شبیه‌های شش، هشت و الی ۲۴ درصد برای کل حوزه ترسیم گردید و پس از مقایسه نتایج با داده‌های مربوط به زیرحوزه‌ای که گروههای هیدرولوژیکی خاک در آن موجود بود، شبیه ۱۸ درصد با دقت متوسط ۸۷ درصد به عنوان مرز گروه هیدرولوژیک A و B

## منابع

- Alizadeh, A. 2011. Principle of Applied Hydrology. Mashhad: Emam Reza University (In Persian).
- Basharati, T. 2007. Spatial Prioritization of Flood plane in Rudak Catchment Using HEC-HMS Model. M.Sc. Thesis, University of Sari, 882 pp (In Persian).
- Bennett, T.H. 1998. Development and Application of a Continuous Soil Moisture Accounting Algorithm for the Hydrologic Engineering Center Hydrologic Modeling System (HEC-HMS): University of California, Davis. 18 pp.
- Chu, X. and A. Steinman. 2009. Event and Continuous Hydrologic Modeling with HEC-HMS. Journal of Irrigation and Drainage Engineering, 135: 119-124.
- Daliri, F., H. Seraji, S. Kholghi and H. Ahmadi. 2011a . Soil Hydrologic Group Detection Based on Geomorphologic Facies and Slope (Case Study: Taleghan Watershed, Iran). Journal of Desert, 16: 69-75.
- Daliri, F., H. Seraji, S. Kholghi and H. Ahmadi. 2011b . Soil Hydrologic Group Detection For Flood Discharge Estimation. Proceedings of the 4<sup>th</sup> Conference of Iran Water Resources Management, University of Amirkabir, 16 pp (In Persian).
- De Silva, M. Weerakoon and S. Herath. 2014. Modeling of Event and Continuous Flow Hydrographs with HEC-HMS: Case Study in the Kelani River Basin, Sri Lanka. Journal of Hydrologic Engineering, 19: 800-806.
- Fleming, M. and V. Nearly. 2004. Continuous Hydrologic Modeling Study with the Hydrologic Modeling System. Journal of Hydrologic Engineering, 9: 175-183.
- Jahangeer, A.R., M. Raeini Sarjaz and M.Z. Ahmadi. 2009. Comparison of Artificial Neural Networks (ANN) Simulation of Rainfall-Runoff Process with HEC-HMS Model in Kardeh Watershed. Journal of Soil and Water, 22: 72-84 (In Persian).
- Khalighi, Sh. 2005. Assessment of the Extent Landuse Change and Hydrologic Characteristics of Surface water in Barnandouzchai Catchment. Ph.D. Thesis, Tehran University, 15 pp (In Persian).
- Knebl, M.R., Z.L. Yang, K. Hutchison and D.R. Maidment. 2005. Regional Scale Flood Modeling Using NEXRAD Rainfall, GIS and HEC-HMS/RAS: A Case Study for the San Antonio River Basin Summer 2002 Storm Event. Journal of Environmental Management, 75: 325-336.
- Mahmoudin, M., M. Majdzadeh and A. Yousofi. 2003. Using HEC-HMS in River Engineering (Case Study: Kar & Sivand River). Proceedings of the 6<sup>th</sup> International Conference of River Engineering, Shahid Chamran University of Ahvaz, 13 pp (In Persian).
- McColl, C. and G. Aggett. 2007. Land-use Forecasting and Hydrologic Model Integration for Improved Land-Use Decision Support. Journal of Environmental Management, 84: 494-512.
- Meselhe, E., E. Habib, O. Oche and S. Gautam. 2009. Sensitivity of Conceptual and Physically Based Hydrologic Models to Temporal and Spatial Rainfall Sampling. Journal of Hydrologic Engineering, 14: 711-720.
- Olivera, F. 2001. Extracting Hydrologic Information from Spatial Data for HMS Modeling. Journal of Hydrologic Engineering, 6: 524-530.
16. Razavi, A., M. Majdzadeh and S. Mousavi Nadoushani. 2007. CN Value Detection Using GIS & RS and Flood Estimating if Ungaged Catchment. Proceedings of the 2nd Conference of Iran Water Resources Management, Isfahan University of Technology, (In Persian).
- Refsgaard, J.C. and J. Knudsen. 1996. Operational Validation and Intercomparison of Different Types of Hydrological Models. Water Resources Research, 32: 2189-2202.
- Sabzevari, T., R. Ardeanian, A. Shamsaei and A. Talebi. 2009. Hydrograph Estimation of Ungaged Catchments using GIS & HEC-HMS. Journal of Water Engineering, 2: 1-11 (In Persian).
- Santra, P. and D. Bhabani Sankar. 2013. Modeling Runoff from an Agricultural Watershed of Western Catchment of Chilika Lake Through ArcSWAT. Journal of Hydro-environment Research, 7: 261-269.
- United States Army Corps of Engineers, Hydrologic Engineering Center (USACE-HEC). (2000). Hydrologic Modeling System HEC-HMS Technical Reference Manual. Davis, Calif. 124 pp.
- Zhan, X. and H.M. Lang. 2004. ArcCN-Runoff: an ArcGIS tool for Generating Curve Number and Runoff Maps. Environmental Modelling & Software, 19: 875-879.

## Hydrological Soil Groups Estimation in Ungaged Catchment

**Mohammad Zounemat-Kermani<sup>1</sup> and Moein Ganjalikhani<sup>2</sup>**

---

1- Associate Professor, Shahid Bahonar University of Kerman  
2- Graduated M.Sc., Shahid Bahonar University of Kerman, (Corresponding author: ganjalikhani@agr.uk.ac.ir)  
Received: May 7, 2014      Accepted: September 24, 2014

---

### Abstract

In many floods controlling, watershed-management and water-resources projects, estimating of river flow-rate is important and needs a comprehensive hydrological modeling of flow-rate evaluation. Need for enlightening the status of water-resources and precipitation in different watersheds and the lack of networks of hydro-meteorological gauging stations, reveal the importance of estimating the runoff volume in watersheds. In addition, designing of hydro-structures on rivers such as bridges and weirs are in need of forecasting related floods of the territory. In this research explores discovering of the hydrological soil groups of Ab-Bakhsha watershed in Bardisr in Kerman province for evaluating the flood peak and volume. There is soil group data just for one sub-basin therefore; the watershed suffers from lack of hydrological soil group data. For that reason, slope maps evaluate the hydrological soil group which shows the 87% accordance with the available data. To continue, the HEC - HMS software modeled eight flood events using estimated data and rainfall-runoff observation. Four target-functions calibrated the model for curve number and coefficient K in Muskingum method. In the end, to evaluating the calibrated model, four flood events by NOF and EF goodness of fit tests were simulated. According to the results, the RMSE method as the best target-function used for optimizations. In general based on the lack of information about the soil curve number and promising results of this model, one can knows this method as a proper method for calculating the flood volume in preliminary study plans.

**Keywords:** Ab-Bakhsha watershed, CN, Curve number, HEC-HMS, Soil hydrological groups